

# Redes Neurais Avançadas para Inteligência Artificial Geral

Luiz Tiago Wilcke

27 de Dezembro de 2024

## Resumo

Este artigo explora as arquiteturas avançadas de redes neurais aplicadas ao desenvolvimento de Inteligência Artificial Geral (AGI). Aborda-se a evolução das redes neurais profundas, técnicas de aprendizado por reforço, redes neurais recorrentes, modelos de atenção, redes neurais generativas, redes neurais de grafos, aprendizado por transferência, meta-aprendizado, otimização de arquitetura, interpretabilidade e integração com IA simbólica. Além disso, são apresentados diagramas ilustrativos, equações matemáticas detalhadas e estudos de caso que fundamentam essas tecnologias. O objetivo é fornecer uma visão abrangente das ferramentas atuais e seus potenciais para alcançar a AGI, bem como discutir os desafios éticos e sociais associados.

## Sumário

<b>1</b>	<b>Introdução</b>	<b>5</b>
<b>2</b>	<b>Redes Neurais Profundas</b>	<b>6</b>
2.1	Funções de Ativação Avançadas . . . . .	6
2.1.1	Leaky ReLU . . . . .	6
2.1.2	ELU (Exponential Linear Unit) . . . . .	6
2.1.3	Swish . . . . .	6
2.2	Regularização em Redes Neurais . . . . .	6
2.2.1	Dropout . . . . .	7
2.2.2	Batch Normalization . . . . .	7
2.2.3	Weight Decay . . . . .	7
2.3	Arquiteturas de Redes Neurais Convolucionais . . . . .	7
2.3.1	Estrutura Básica de uma CNN . . . . .	7
2.3.2	Camadas Avançadas em CNNs . . . . .	7
2.4	Redes Neurais Residuais (ResNets) . . . . .	8
2.4.1	Bloco Residual . . . . .	8
2.4.2	ResNet Profunda . . . . .	8
2.5	Redes Neurais Convolucionais Profundas (Deep CNNs) . . . . .	8
2.5.1	VGG Network . . . . .	8
2.5.2	Inception Network . . . . .	9
2.5.3	DenseNet . . . . .	9
2.6	Redes Neurais Recorrentes e Memória de Longo Prazo . . . . .	9

2.6.1	Arquitetura LSTM Detalhada . . . . .	9
2.7	Redes Neurais Recorrentes Bidirecionais . . . . .	10
2.7.1	Arquitetura Bidirecional . . . . .	10
2.7.2	Vantagens das RNNs Bidirecionais . . . . .	10
2.8	Gated Recurrent Units (GRUs) . . . . .	10
2.9	Bidirectional LSTM (BiLSTM) . . . . .	11
2.9.1	Equações de BiLSTM . . . . .	11
<b>3</b>	<b>Mecanismos de Atenção e Transformadores</b>	<b>11</b>
3.1	Atenção Multi-Cabeça . . . . .	11
3.1.1	Atenção Escalar Produto . . . . .	11
3.1.2	Atenção por Valores Posicionais . . . . .	11
3.2	Mecanismos de Atenção Avançados . . . . .	12
3.2.1	Atenção Hierárquica . . . . .	12
3.2.2	Atenção Auto-Regressiva . . . . .	12
3.2.3	Atenção Dinâmica . . . . .	12
3.3	Diagrama de um Transformer Detalhado . . . . .	12
3.4	Transformers para Multimodalidade . . . . .	12
3.4.1	Vision Transformer (ViT) . . . . .	13
3.4.2	Multimodal Transformer . . . . .	13
3.5	Transformers Empilhados e Profundos . . . . .	13
3.5.1	Encoder-Decoder Stack . . . . .	13
3.6	Mecanismos de Atenção para Escalabilidade . . . . .	14
3.6.1	Atenção Esparsa . . . . .	14
3.6.2	Atenção Linear . . . . .	14
3.7	Transformers em Outras Modalidades . . . . .	14
3.7.1	Audio Transformers . . . . .	14
3.7.2	Video Transformers . . . . .	14
<b>4</b>	<b>Aprendizado por Reforço em AGI</b>	<b>14</b>
4.1	Deep Q-Network (DQN) . . . . .	15
4.1.1	Arquitetura do DQN . . . . .	15
4.1.2	Melhorias no DQN . . . . .	15
4.2	Proximal Policy Optimization (PPO) . . . . .	15
4.2.1	Vantagens do PPO . . . . .	16
4.3	Aprendizado por Reforço Profundo (Deep Reinforcement Learning) . . . . .	16
4.3.1	Aplicações de DRL . . . . .	16
4.3.2	Exemplo de Aplicação em Jogos . . . . .	16
4.3.3	Robótica Avançada . . . . .	16
4.4	Aprendizado por Reforço Multi-Agente . . . . .	16
4.4.1	Cooperação entre Agentes . . . . .	16
4.4.2	Competição entre Agentes . . . . .	17
<b>5</b>	<b>Aprendizado por Transferência e Meta-Aprendizado</b>	<b>17</b>
5.1	Aprendizado por Transferência . . . . .	17
5.1.1	Fine-Tuning . . . . .	17
5.1.2	Transferência de Conhecimento . . . . .	17
5.2	Meta-Aprendizado . . . . .	17
5.3	Redes Neurais de Arquitetura Adaptativa . . . . .	18

5.4	Automated Machine Learning (AutoML)	18
<b>6</b>	<b>Neural Architecture Search (NAS)</b>	<b>18</b>
6.1	Métodos Baseados em Reforço para NAS	18
6.2	Otimização Evolutiva para NAS	19
6.3	Otimização por Gradiente para NAS	19
6.3.1	DARTS: Differentiable Architecture Search	19
<b>7</b>	<b>Explainable AI (XAI)</b>	<b>19</b>
7.1	Técnicas de Interpretação	19
7.1.1	LIME: Local Interpretable Model-agnostic Explanations	20
7.1.2	SHAP: SHapley Additive exPlanations	20
7.2	Visualização de Representações Internas	20
7.2.1	Visualização de Filtros Convolucionais	20
7.2.2	Visualização de Ativações	20
7.3	Modelos Intrinsecamente Interpretáveis	21
7.3.1	Redes de Regras Integradas	21
<b>8</b>	<b>Integração com Symbolic AI</b>	<b>21</b>
8.1	Neuro-Simbólico	21
8.1.1	Frameworks Neuro-Simbólicos	21
8.2	Razão baseada em Redes Neurais	21
<b>9</b>	<b>Cognitive Architectures</b>	<b>22</b>
9.1	ACT-R	22
9.1.1	Componentes de ACT-R	22
9.2	SOAR	22
9.2.1	Componentes de SOAR	22
9.2.2	Aprendizado em SOAR	23
9.3	Comparação entre ACT-R e SOAR	23
<b>10</b>	<b>Multi-Agent Systems</b>	<b>23</b>
10.1	Cooperação e Competição entre Agentes	23
10.1.1	Modelos de Cooperação	23
10.1.2	Modelos de Competição	23
10.2	Comunicação e Coordenação	23
10.2.1	Estratégias de Coordenação	24
10.2.2	Aprendizado Social	24
10.3	Ambientes Multi-Agente	24
<b>11</b>	<b>Hardware e Software para Redes Neurais Avançadas</b>	<b>24</b>
11.1	Unidades de Processamento Especializadas	24
11.1.1	Características das GPUs	24
11.1.2	Características das TPUs	25
11.2	Frameworks de Desenvolvimento	25
11.2.1	TensorFlow	25
11.2.2	PyTorch	25
11.2.3	JAX	25
11.3	Infraestrutura de Computação Distribuída	25

11.3.1	Modelos de Distribuição . . . . .	25
11.3.2	Gerenciamento de Recursos . . . . .	26
<b>12</b>	<b>Estudos de Caso</b>	<b>26</b>
12.1	GPT-4 e Modelos de Linguagem Avançados . . . . .	26
12.1.1	Arquitetura do GPT-4 . . . . .	26
12.1.2	Camadas do GPT-4 . . . . .	26
12.1.3	Treinamento do GPT-4 . . . . .	26
12.1.4	Desempenho e Aplicações . . . . .	26
12.1.5	Avaliação do GPT-4 . . . . .	27
12.1.6	Impacto na Indústria . . . . .	27
12.2	AlphaGo e o Controle de Jogos . . . . .	27
12.2.1	Arquitetura do AlphaGo . . . . .	27
12.2.2	Técnicas de Aprendizado Utilizadas . . . . .	27
12.2.3	Desempenho do AlphaGo . . . . .	27
12.2.4	Impacto na IA . . . . .	27
12.3	DALL-E e a Geração de Imagens . . . . .	28
12.3.1	Arquitetura do DALL-E . . . . .	28
12.3.2	Treinamento do DALL-E . . . . .	28
12.3.3	Capacidades do DALL-E . . . . .	28
<b>13</b>	<b>Desafios e Perspectivas Futuras</b>	<b>28</b>
13.1	Explicabilidade e Interpretabilidade . . . . .	29
13.1.1	Métodos de Visualização . . . . .	29
13.1.2	Modelos Interpretáveis . . . . .	29
13.2	Redução do Consumo de Energia . . . . .	29
13.2.1	Modelos Compactos . . . . .	30
13.3	Aprendizado Auto-Supervisionado . . . . .	30
13.4	Interação Humano-IA . . . . .	30
13.4.1	Interfaces Naturais . . . . .	30
13.4.2	Feedback Adaptativo . . . . .	30
13.5	IA Integrada com Ciência Cognitiva . . . . .	30
13.5.1	Modelagem de Processos Cognitivos . . . . .	30
13.5.2	Estudos Interdisciplinares . . . . .	30
<b>14</b>	<b>Aplicações Avançadas das Redes Neurais na AGI</b>	<b>31</b>
14.1	Processamento de Linguagem Natural (PLN) . . . . .	31
14.1.1	Tradução Automática . . . . .	31
14.1.2	Chatbots e Assistentes Virtuais . . . . .	31
14.1.3	Resumo Automático . . . . .	31
14.2	Visão Computacional . . . . .	31
14.2.1	Reconhecimento Facial . . . . .	31
14.2.2	Segmentação de Imagens . . . . .	32
14.2.3	Reconhecimento de Ações em Vídeos . . . . .	32
14.3	Robótica e Controle . . . . .	32
14.3.1	Manipulação Robótica . . . . .	32
14.3.2	Navegação Autônoma . . . . .	32
14.3.3	Interação Social com Robôs . . . . .	32
14.4	Saúde e Medicina . . . . .	33

14.4.1	Diagnóstico por Imagem . . . . .	33
14.4.2	Descoberta de Medicamentos . . . . .	33
14.4.3	Monitoramento de Saúde . . . . .	33
<b>15</b>	<b>Considerações Éticas e Sociais</b>	<b>33</b>
15.1	Governança e Regulamentação . . . . .	34
15.1.1	Frameworks Regulatórios . . . . .	34
15.1.2	Comitês de Ética . . . . .	34
15.2	Educação e Capacitação . . . . .	34
15.2.1	Programas de Requalificação . . . . .	34
15.2.2	Currículos Educacionais . . . . .	34
15.3	Ética no Desenvolvimento de AGI . . . . .	34
15.3.1	Responsabilidade . . . . .	35
15.3.2	Transparência . . . . .	35
<b>16</b>	<b>Tendências Futuras e Pesquisa</b>	<b>35</b>
16.1	Modelos Multimodais . . . . .	35
16.1.1	Integração de Modalidades . . . . .	35
16.1.2	Desafios na Multimodalidade . . . . .	35
16.2	IA Auto-Explicável . . . . .	36
16.2.1	Mecanismos de Explicação . . . . .	36
16.2.2	Benefícios da Explicabilidade . . . . .	36
16.3	IA Sustentável . . . . .	36
16.3.1	Treinamento Eficiente . . . . .	36
16.3.2	Compressão de Modelos . . . . .	36
16.4	Interação Humano-IA . . . . .	36
16.4.1	Interfaces Naturais . . . . .	36
16.4.2	Feedback Adaptativo . . . . .	37
16.5	IA Integrada com Ciência Cognitiva . . . . .	37
16.5.1	Modelagem de Processos Cognitivos . . . . .	37
16.5.2	Estudos Interdisciplinares . . . . .	37
<b>17</b>	<b>Conclusão</b>	<b>37</b>

# 1 Introdução

A busca pela Inteligência Artificial Geral (AGI) tem sido um dos principais objetivos na pesquisa em inteligência artificial. Diferentemente das inteligências artificiais especializadas, a AGI visa desenvolver sistemas capazes de realizar qualquer tarefa cognitiva humana [1]. As redes neurais avançadas desempenham um papel crucial nesse desenvolvimento, oferecendo estruturas flexíveis e poderosas para o processamento e aprendizado de informações complexas. Este artigo visa aprofundar o entendimento sobre as diversas arquiteturas e técnicas de redes neurais que contribuem para o avanço rumo à AGI, discutindo suas capacidades, aplicações e os desafios associados.

## 2 Redes Neurais Profundas

As redes neurais profundas, ou Deep Neural Networks (DNNs), são compostas por múltiplas camadas de neurônios artificiais que permitem a modelagem de relações não-lineares complexas entre entradas e saídas [2]. A equação fundamental que descreve a saída de uma camada de rede neural é dada por:

$$\mathbf{y} = f(\mathbf{W}\mathbf{x} + \mathbf{b}) \quad (1)$$

onde  $\mathbf{W}$  é a matriz de pesos,  $\mathbf{b}$  é o vetor de vieses e  $f$  é a função de ativação.

### 2.1 Funções de Ativação Avançadas

Além das funções de ativação tradicionais como ReLU, Sigmoid e Tanh, existem funções de ativação mais avançadas que melhoram o desempenho e a estabilidade das redes neurais profundas.

#### 2.1.1 Leaky ReLU

A Leaky ReLU introduz uma pequena inclinação para valores negativos, evitando o problema de neurônios mortos:

$$f(x) = \begin{cases} x & \text{se } x \geq 0 \\ \alpha x & \text{se } x < 0 \end{cases} \quad (2)$$

onde  $\alpha$  é um pequeno valor positivo, geralmente 0.01 [?].

#### 2.1.2 ELU (Exponential Linear Unit)

A ELU melhora a média das ativações, acelerando o treinamento:

$$f(x) = \begin{cases} x & \text{se } x \geq 0 \\ \alpha(\exp(x) - 1) & \text{se } x < 0 \end{cases} \quad (3)$$

onde  $\alpha$  é uma constante positiva [?].

#### 2.1.3 Swish

A função Swish, proposta pelo Google, é definida por:

$$f(x) = x \cdot \sigma(\beta x) \quad (4)$$

onde  $\sigma$  é a função sigmoide e  $\beta$  é um parâmetro ajustável [?].

## 2.2 Regularização em Redes Neurais

A regularização é fundamental para evitar overfitting e melhorar a generalização dos modelos.

### 2.2.1 Dropout

O Dropout desativa aleatoriamente uma fração dos neurônios durante o treinamento, forçando a rede a aprender representações redundantes [?].

$$\mathbf{y} = \frac{1}{1-p} \mathbf{y} \odot \mathbf{m} \quad (5)$$

onde  $\mathbf{m}$  é uma máscara binária com probabilidade  $p$  de desativar cada neurônio, e  $\odot$  representa a multiplicação elemento a elemento.

### 2.2.2 Batch Normalization

A normalização em batch estabiliza e acelera o treinamento ao normalizar as ativações de cada camada [?].

$$\hat{\mathbf{x}} = \frac{\mathbf{x} - \mu_{\text{batch}}}{\sqrt{\sigma_{\text{batch}}^2 + \epsilon}} \quad (6)$$

onde  $\mu_{\text{batch}}$  e  $\sigma_{\text{batch}}^2$  são a média e variância do batch, respectivamente, e  $\epsilon$  é um pequeno valor para evitar divisão por zero.

### 2.2.3 Weight Decay

O Weight Decay adiciona um termo de penalização na função de perda para limitar a magnitude dos pesos:

$$L = L_{\text{original}} + \lambda \|\mathbf{W}\|^2 \quad (7)$$

onde  $\lambda$  é o coeficiente de regularização.

## 2.3 Arquiteturas de Redes Neurais Convolucionais

As Redes Neurais Convolucionais (CNNs) são particularmente eficazes em tarefas de processamento de imagens e reconhecimento de padrões [3]. Elas utilizam operações de convolução para extrair características hierárquicas das entradas.

### 2.3.1 Estrutura Básica de uma CNN

A estrutura básica de uma CNN inclui camadas de convolução, camadas de ativação, camadas de pooling e camadas totalmente conectadas.

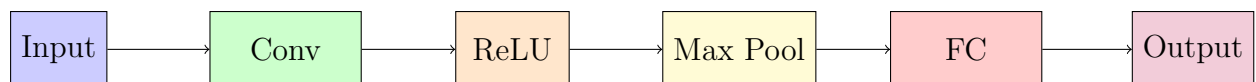


Figura 1: Diagrama Simplificado de uma Rede Neural Convolucional

### 2.3.2 Camadas Avançadas em CNNs

Para aumentar a profundidade e a capacidade das CNNs, camadas adicionais como convoluções dilatadas, camadas de normalização e conexões residuais são frequentemente utilizadas.

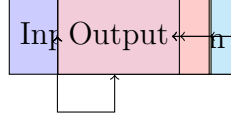


Figura 2: Arquitetura Avançada de uma CNN com Conexões Residuais

## 2.4 Redes Neurais Residuais (ResNets)

As Redes Neurais Residuais (ResNets) introduzem conexões de atalho que facilitam o treinamento de redes muito profundas, mitigando o problema de degradação do desempenho à medida que a profundidade aumenta [27].

### 2.4.1 Bloco Residual

Um bloco residual básico consiste em duas camadas convolucionais com uma conexão de atalho:

$$\mathbf{y} = \mathcal{F}(\mathbf{x}, \{W_i\}) + \mathbf{x} \quad (8)$$

onde  $\mathcal{F}$  representa as operações convolucionais e de ativação dentro do bloco [27].

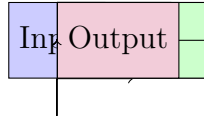


Figura 3: Bloco Residual em uma ResNet

### 2.4.2 ResNet Profunda

ResNets podem ser estendidas para dezenas ou centenas de camadas, mantendo um desempenho consistente graças às conexões residuais.

$$\mathbf{y}^{(l)} = \mathbf{y}^{(l-1)} + \mathcal{F}(\mathbf{y}^{(l-1)}, \{W_i^{(l)}\}) \quad (9)$$

onde  $\mathbf{y}^{(l)}$  é a saída da camada  $l$  e  $\mathcal{F}$  representa as operações convolucionais na camada  $l$  [27].

## 2.5 Redes Neurais Convolucionais Profundas (Deep CNNs)

Redes como VGG, Inception e DenseNet ampliam a profundidade e complexidade das CNNs para capturar características cada vez mais abstratas das entradas.

### 2.5.1 VGG Network

A VGG Network utiliza camadas convolucionais de pequeno tamanho (3x3) empilhadas para aumentar a profundidade [?].

$$\mathbf{y} = f(\mathbf{W}_3 * f(\mathbf{W}_3 * (\mathbf{W}_3 * \mathbf{x} + \mathbf{b}_1) + \mathbf{b}_2) + \mathbf{b}_3)) \quad (10)$$

onde  $\mathbf{W}_3$  representa filtros 3x3 e  $*$  denota a operação de convolução.



### 2.5.2 Inception Network

A Inception Network introduz módulos Inception que combinam convoluções de diferentes tamanhos em uma única camada [?].

$$\mathbf{y} = \text{Concat}(\text{Conv}_1, \text{Conv}_3, \text{Conv}_5, \text{MaxPool}_3 * \mathbf{x}) \quad (11)$$

onde diferentes filtros são aplicados paralelamente e suas saídas são concatenadas.

### 2.5.3 DenseNet

A DenseNet conecta cada camada a todas as camadas anteriores, promovendo o fluxo de informações e gradientes [?].

$$\mathbf{y}_l = f_l([\mathbf{y}_0, \mathbf{y}_1, \dots, \mathbf{y}_{l-1}]) \quad (12)$$

onde  $[\cdot]$  denota a concatenação das saídas das camadas anteriores.

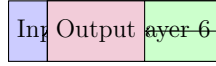


Figura 4: Exemplo de uma DenseNet

## 2.6 Redes Neurais Recorrentes e Memória de Longo Prazo

As Redes Neurais Recorrentes (RNNs) são adequadas para dados sequenciais devido à sua capacidade de manter estados internos que capturam informações de entradas anteriores [4]. Uma variante avançada das RNNs, as Long Short-Term Memory (LSTM), aborda o problema de gradientes que desaparecem, permitindo o aprendizado de dependências de longo prazo.

### 2.6.1 Arquitetura LSTM Detalhada

A arquitetura LSTM consiste em células que possuem portas de entrada, esquecimento e saída. As equações de atualização de uma célula LSTM são:

$$f_t = \sigma(W_f \cdot [h_{t-1}, x_t] + b_f) \quad (13)$$

$$i_t = \sigma(W_i \cdot [h_{t-1}, x_t] + b_i) \quad (14)$$

$$\tilde{C}_t = \tanh(W_C \cdot [h_{t-1}, x_t] + b_C) \quad (15)$$

$$C_t = f_t * C_{t-1} + i_t * \tilde{C}_t \quad (16)$$

$$o_t = \sigma(W_o \cdot [h_{t-1}, x_t] + b_o) \quad (17)$$

$$h_t = o_t * \tanh(C_t) \quad (18)$$

onde  $\sigma$  é a função sigmoide,  $*$  denota a multiplicação elemento a elemento, e  $h_t$ ,  $C_t$  representam o estado oculto e a célula de memória, respectivamente [11].

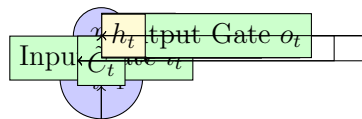


Figura 5: Arquitetura de uma Célula LSTM

## 2.7 Redes Neurais Recorrentes Bidirecionais

As RNNs bidirecionais processam a sequência de dados em ambas as direções, permitindo que a rede tenha acesso a contextos futuros e passados simultaneamente. Isso é particularmente útil em tarefas como reconhecimento de fala e tradução automática [12].

### 2.7.1 Arquitetura Bidirecional

A arquitetura bidirecional consiste em duas RNNs, uma processando a sequência da esquerda para a direita e outra da direita para a esquerda.

$$\mathbf{h}_t = \text{Concat}(\vec{\mathbf{h}}_t, \overleftarrow{\mathbf{h}}_t) \quad (19)$$

onde  $\vec{\mathbf{h}}_t$  e  $\overleftarrow{\mathbf{h}}_t$  são os estados ocultos das RNNs direcional e inversa, respectivamente.

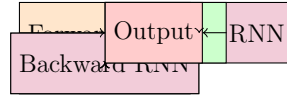


Figura 6: Arquitetura de uma RNN Bidirecional

### 2.7.2 Vantagens das RNNs Bidirecionais

As RNNs bidirecionais permitem que a rede utilize informações de ambos os lados da sequência, melhorando a precisão em tarefas que dependem de contexto completo, como tradução automática e reconhecimento de entidades nomeadas.

## 2.8 Gated Recurrent Units (GRUs)

As Gated Recurrent Units (GRUs) são uma simplificação das LSTMs que combinam as portas de entrada e esquecimento em uma única porta de atualização [47]. As equações de uma GRU são:

$$z_t = \sigma(W_z \cdot [h_{t-1}, x_t]) \quad (20)$$

$$r_t = \sigma(W_r \cdot [h_{t-1}, x_t]) \quad (21)$$

$$\tilde{h}_t = \tanh(W \cdot [r_t * h_{t-1}, x_t]) \quad (22)$$

$$h_t = (1 - z_t) * h_{t-1} + z_t * \tilde{h}_t \quad (23)$$

onde  $z_t$  é a porta de atualização,  $r_t$  é a porta de reinicialização, e  $\tilde{h}_t$  é a nova informação candidata [47].

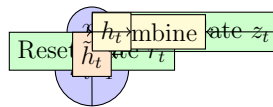


Figura 7: Arquitetura de uma GRU

## 2.9 Bidirectional LSTM (BiLSTM)

A combinação de LSTMs bidirecionais permite que a rede capture dependências tanto passadas quanto futuras em sequências de dados, melhorando o desempenho em tarefas de processamento de linguagem natural e reconhecimento de padrões temporais.

$$\mathbf{h}_t = \text{Concat}(\vec{\mathbf{h}}_t, \overleftarrow{\mathbf{h}}_t) \quad (24)$$

### 2.9.1 Equações de BiLSTM

Para uma BiLSTM, as equações são definidas para as direções forward e backward:

$$\vec{\mathbf{h}}_t = \text{LSTM}(\vec{\mathbf{h}}_{t-1}, x_t) \quad (25)$$

$$\overleftarrow{\mathbf{h}}_t = \text{LSTM}(\overleftarrow{\mathbf{h}}_{t+1}, x_t) \quad (26)$$

$$\mathbf{h}_t = \text{Concat}(\vec{\mathbf{h}}_t, \overleftarrow{\mathbf{h}}_t) \quad (27)$$

## 3 Mecanismos de Atenção e Transformadores

Os mecanismos de atenção têm revolucionado o processamento de linguagem natural e outras áreas, permitindo que os modelos foquem em partes específicas da entrada [5]. A arquitetura Transformer, baseada inteiramente em mecanismos de atenção, elimina a necessidade de recorrência, facilitando o paralelismo no treinamento.

### 3.1 Atenção Multi-Cabeça

A atenção multi-cabeça permite que o modelo capture diferentes aspectos da informação ao dividir a atenção em múltiplas "cabeças". A equação para a atenção multi-cabeça é:

$$\text{MultiHead}(Q, K, V) = \text{Concat}(\text{head}_1, \text{head}_2, \dots, \text{head}_h) \cdot W^O \quad (28)$$

onde cada  $\text{head}_i = \text{Attention}(QW_i^Q, KW_i^K, VW_i^V)$  [5].

#### 3.1.1 Atenção Escalar Produto

A atenção escalar produto é definida por:

$$\text{Attention}(Q, K, V) = \text{softmax}\left(\frac{QK^T}{\sqrt{d_k}}\right) V \quad (29)$$

onde  $d_k$  é a dimensão das chaves.

#### 3.1.2 Atenção por Valores Posicionais

Para incorporar informações de posição na sequência, adicionam-se codificações posicionais aos vetores de entrada:

$$\mathbf{z}_i = \mathbf{x}_i + \mathbf{p}_i \quad (30)$$

onde  $\mathbf{p}_i$  é a codificação posicional para a posição  $i$ .

## 3.2 Mecanismos de Atenção Avançados

Além da atenção multi-cabeça, existem variações e aprimoramentos no mecanismo de atenção, como a atenção hierárquica, atenção auto-regressiva e atenção dinâmica, que buscam melhorar a eficiência e a eficácia da captura de dependências complexas em dados sequenciais e estruturados [?, 38].

### 3.2.1 Atenção Hierárquica

A atenção hierárquica divide a sequência em sub-sequências e aplica atenção em diferentes níveis hierárquicos, capturando relações locais e globais [?].

$$\mathbf{y} = \text{HierarchicalAttention}(\text{Sub-sequência}_1, \text{Sub-sequência}_2, \dots, \text{Sub-sequência}_n) \quad (31)$$

### 3.2.2 Atenção Auto-Regressiva

A atenção auto-regressiva permite que cada posição na sequência atenda apenas às posições anteriores, essencial para tarefas de geração sequencial [5].

$$\text{Attention}(Q, K, V) = \text{softmax} \left( \frac{QK^T}{\sqrt{d_k}} + \text{Mask} \right) V \quad (32)$$

onde Mask é uma matriz triangular inferior que impede que posições futuras influenciem a atenção.

### 3.2.3 Atenção Dinâmica

A atenção dinâmica adapta a forma como as atenções são calculadas com base no contexto atual, melhorando a flexibilidade do modelo [12].

$$\text{DynamicAttention}(Q, K, V, \theta) = \text{softmax} \left( \frac{QK^T}{\sqrt{d_k}} + f(\theta, Q, K) \right) V \quad (33)$$

onde  $f$  é uma função parametrizada que ajusta a atenção com base no contexto.

## 3.3 Diagrama de um Transformer Detalhado

A Figura 8 ilustra a arquitetura detalhada de um Transformer, incluindo os blocos de codificador e decodificador com camadas de atenção multi-cabeça e redes feed-forward.

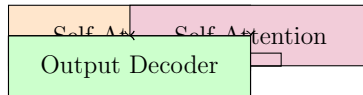


Figura 8: Arquitetura Detalhada de um Transformer

## 3.4 Transformers para Multimodalidade

Transformers não se limitam apenas a dados sequenciais; eles têm sido adaptados para lidar com dados multimodais, combinando informações de diferentes fontes, como texto, imagem e som. Arquiteturas como o *Multimodal Transformer* e o *Vision Transformer* (ViT) exemplificam essa capacidade [37, 38].

### 3.4.1 Vision Transformer (ViT)

O Vision Transformer aplica a arquitetura Transformer diretamente a blocos de imagem, tratando patches de imagem como tokens semelhantes a palavras em NLP.

$$\mathbf{y} = \text{Transformer}(\text{Patch Embeddings} + \text{Positional Encodings}) \quad (34)$$

onde as imagens são divididas em patches, cada patch é linearmente embutido e somado com codificações posicionais antes de ser passado para o Transformer [38].

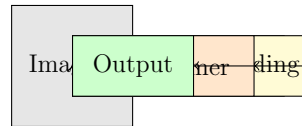


Figura 9: Arquitetura do Vision Transformer (ViT)

### 3.4.2 Multimodal Transformer

O Multimodal Transformer integra diferentes modalidades, como texto e imagem, utilizando mecanismos de atenção para capturar relações intermodais.

$$\mathbf{y} = \text{Transformer}(\text{Text Tokens} + \text{Image Tokens} + \text{Positional Encodings}) \quad (35)$$

onde os tokens de diferentes modalidades são combinados e processados conjuntamente pelo Transformer [37].

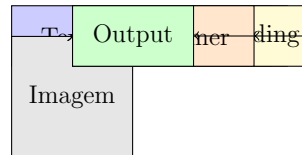


Figura 10: Arquitetura do Multimodal Transformer

## 3.5 Transformers Empilhados e Profundos

Empilhar múltiplas camadas de Transformers permite que o modelo capture representações mais abstratas e complexas dos dados. Isso é particularmente útil em tarefas que exigem um entendimento profundo do contexto e das relações entre diferentes elementos [13].

### 3.5.1 Encoder-Decoder Stack

A pilha encoder-decoder é fundamental para tarefas de tradução automática e geração de texto, onde o encoder processa a entrada e o decoder gera a saída [5].

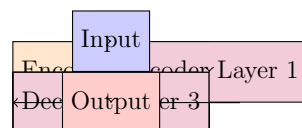


Figura 11: Pilha Encoder-Decoder de um Transformer

## 3.6 Mecanismos de Atenção para Escalabilidade

Para lidar com sequências longas, foram desenvolvidos mecanismos de atenção mais escaláveis, como a atenção esparsa e a atenção linear.

### 3.6.1 Atenção Esparsa

A atenção esparsa foca apenas em partes relevantes da sequência, reduzindo a complexidade computacional de  $O(n^2)$  para  $O(n \log n)$  [?].

$$\text{SparseAttention}(Q, K, V) = \text{softmax} \left( \frac{QK^T}{\sqrt{d_k}} \odot M \right) V \quad (36)$$

onde  $M$  é uma máscara esparsa que define as interações permitidas.

### 3.6.2 Atenção Linear

A atenção linear aproxima a atenção escalar produto utilizando funções de kernel, permitindo uma complexidade linear [?].

$$\text{LinearAttention}(Q, K, V) = (\phi(Q)(\phi(K)^T V)) \quad (37)$$

onde  $\phi$  é uma função de mapeamento de kernel que transforma os vetores de consulta e chave.

## 3.7 Transformers em Outras Modalidades

Além de texto e imagem, Transformers têm sido aplicados em áudio, vídeo e dados tabulares, demonstrando sua versatilidade.

### 3.7.1 Audio Transformers

Transformers aplicados a dados de áudio permitem tarefas como reconhecimento de fala e geração de música com alta qualidade [26].

### 3.7.2 Video Transformers

Video Transformers capturam dinâmicas temporais e espaciais em sequências de vídeo, melhorando tarefas como detecção de ação e segmentação de objetos em movimento [5].

## 4 Aprendizado por Reforço em AGI

O aprendizado por reforço (RL) é essencial para AGI, pois permite que agentes aprendam a tomar decisões em ambientes dinâmicos [6]. Técnicas avançadas, como o Deep Q-Network (DQN) e o Proximal Policy Optimization (PPO), têm demonstrado eficácia em tarefas complexas.

## 4.1 Deep Q-Network (DQN)

O DQN combina Q-Learning com redes neurais profundas para aproximar a função de valor  $Q$  [46]. A função de perda para o DQN é definida como:

$$L(\theta) = \mathbb{E}_{(s,a,r,s') \sim \mathcal{D}} \left[ \left( r + \gamma \max_{a'} Q(s', a'; \theta^-) - Q(s, a; \theta) \right)^2 \right] \quad (38)$$

onde  $\theta$  são os parâmetros da rede,  $\theta^-$  são os parâmetros da rede alvo, e  $\mathcal{D}$  é o buffer de replay.

### 4.1.1 Arquitetura do DQN

A arquitetura do DQN geralmente segue uma CNN para processar entradas visuais, como imagens de jogos, e gera estimativas dos valores  $Q$  para cada ação possível.

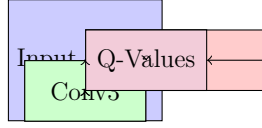


Figura 12: Arquitetura do Deep Q-Network (DQN)

### 4.1.2 Melhorias no DQN

Para aprimorar o DQN, foram introduzidas várias melhorias, como Double DQN, Dueling Networks e Prioritized Experience Replay, que ajudam a reduzir o viés e a melhorar a eficiência do aprendizado.

$$L(\theta) = \mathbb{E}_{(s,a,r,s') \sim \mathcal{D}} \left[ \left( r + \gamma Q(s', \arg \max_{a'} Q(s', a'; \theta); \theta^-) - Q(s, a; \theta) \right)^2 \right] \quad (39)$$

## 4.2 Proximal Policy Optimization (PPO)

O PPO é uma técnica de otimização de políticas que busca equilibrar a exploração e a exploração, mantendo atualizações de política estáveis [48]. A função de perda do PPO é dada por:

$$L^{CLIP}(\theta) = \mathbb{E}_t \left[ \min \left( r_t(\theta) \hat{A}_t, \text{clip}(r_t(\theta), 1 - \epsilon, 1 + \epsilon) \hat{A}_t \right) \right] \quad (40)$$

onde  $r_t(\theta) = \frac{\pi_\theta(a_t|s_t)}{\pi_{\theta_{\text{old}}}(a_t|s_t)}$ ,  $\hat{A}_t$  é a vantagem estimada, e  $\epsilon$  é um hiperparâmetro que controla a quantidade de atualização permitida.

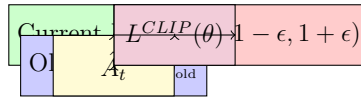


Figura 13: Arquitetura do Proximal Policy Optimization (PPO)

#### 4.2.1 Vantagens do PPO

O PPO combina a estabilidade do Trust Region Policy Optimization (TRPO) com a simplicidade de implementação, tornando-o altamente eficiente para uma ampla gama de tarefas de aprendizado por reforço.

### 4.3 Aprendizado por Reforço Profundo (Deep Reinforcement Learning)

O Deep Reinforcement Learning (DRL) combina redes neurais profundas com aprendizado por reforço, permitindo que agentes aprendam políticas complexas diretamente de dados brutos [46]. Aplicações de DRL incluem jogos, robótica, e controle de sistemas autônomos.

#### 4.3.1 Aplicações de DRL

- **Jogos:** Agentes DRL têm alcançado níveis super-humanos em jogos como Atari, Go e Dota 2 [49].
- **Robótica:** Treinamento de robôs para manipulação de objetos, navegação e interação com ambientes complexos [17].
- **Controle de Sistemas Autônomos:** Aplicação em veículos autônomos e drones para tomada de decisões em tempo real [46].

#### 4.3.2 Exemplo de Aplicação em Jogos

O agente treinado com DQN pode jogar jogos Atari, aprendendo diretamente dos pixels da tela e alcançando desempenho similar ou superior ao humano.

#### 4.3.3 Robótica Avançada

Com DRL, robôs podem aprender tarefas complexas como montagem de objetos, limpeza de ambientes ou até mesmo interação social com humanos.

### 4.4 Aprendizado por Reforço Multi-Agente

Em ambientes complexos, múltiplos agentes podem interagir e aprender simultaneamente, levando a dinâmicas emergentes e cooperação [59]. Técnicas de aprendizado por reforço multi-agente são fundamentais para o desenvolvimento de sistemas AGI que operam em contextos sociais e colaborativos.

#### 4.4.1 Cooperação entre Agentes

Agentes cooperativos trabalham juntos para alcançar um objetivo comum, compartilhando informações e estratégias.



#### 4.4.2 Competição entre Agentes

Agentes competitivos buscam maximizar suas próprias recompensas, possivelmente às custas dos outros, simulando cenários adversariais.

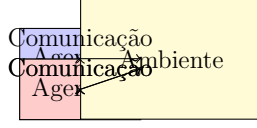


Figura 14: Interação entre Agentes em um Ambiente Multi-Agente

## 5 Aprendizado por Transferência e Meta-Aprendizado

O aprendizado por transferência e o meta-aprendizado são abordagens que visam melhorar a eficiência do aprendizado e a capacidade de generalização dos modelos de IA.

### 5.1 Aprendizado por Transferência

O aprendizado por transferência envolve reutilizar um modelo pré-treinado em uma tarefa relacionada para acelerar o aprendizado em uma nova tarefa [?]. Isso é particularmente útil quando há escassez de dados para a tarefa alvo.

#### 5.1.1 Fine-Tuning

O fine-tuning ajusta os pesos de um modelo pré-treinado em um novo conjunto de dados específico para a tarefa alvo.

$$\theta' = \theta - \eta \nabla_{\theta} L(\theta; D_{\text{new}}) \quad (41)$$

onde  $\theta$  são os pesos originais,  $\theta'$  são os pesos ajustados,  $\eta$  é a taxa de aprendizado, e  $L$  é a função de perda para os dados novos  $D_{\text{new}}$ .

#### 5.1.2 Transferência de Conhecimento

A transferência de conhecimento pode ocorrer em diferentes níveis, como transferência de características, transferência de parâmetros ou transferência de representações.

$$\mathbf{y}_{\text{new}} = f(\mathbf{W}_{\text{transfer}} \mathbf{x} + \mathbf{b}_{\text{new}}) \quad (42)$$

onde  $\mathbf{W}_{\text{transfer}}$  são pesos transferidos de uma tarefa anterior.

### 5.2 Meta-Aprendizado

O meta-aprendizado, ou aprendizado de aprender, capacita os modelos a adaptarem-se rapidamente a novas tarefas com poucos dados de treinamento [?]. Métodos como MAML (Model-Agnostic Meta-Learning) são exemplos de técnicas eficazes em meta-aprendizado.

$$\theta' = \theta - \alpha \nabla_{\theta} L(\theta; \mathcal{T}_i^{\text{train}}) \quad (43)$$

$$\theta = \theta - \beta \nabla_{\theta} \sum_i L(\theta'; \mathcal{T}_i^{\text{test}}) \quad (44)$$

onde  $\mathcal{T}_i^{\text{train}}$  e  $\mathcal{T}_i^{\text{test}}$  são as tarefas de treinamento e teste, respectivamente, e  $\alpha$ ,  $\beta$  são taxas de aprendizado.

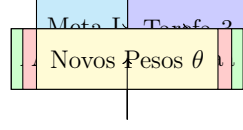


Figura 15: Processo de Meta-Aprendizado

### 5.3 Redes Neurais de Arquitetura Adaptativa

Redes que ajustam sua própria arquitetura durante o processo de aprendizado para otimizar a performance em múltiplas tarefas são uma área emergente que combina aprendizado por transferência e meta-aprendizado [44].

$$\mathcal{A}^* = \arg \min_{\mathcal{A}} \mathcal{L}(\mathcal{A}; D) \quad (45)$$

onde  $\mathcal{A}$  representa a arquitetura e  $\mathcal{L}$  é a função de perda para os dados  $D$ .

### 5.4 Automated Machine Learning (AutoML)

Automated Machine Learning (AutoML) automatiza o processo de seleção de modelos, pré-processamento de dados e otimização de hiperparâmetros, facilitando o desenvolvimento de AGI sem a necessidade de intervenção humana extensiva [?].

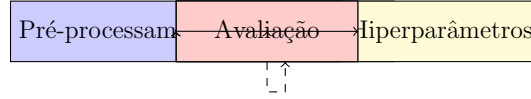


Figura 16: Pipeline de AutoML

## 6 Neural Architecture Search (NAS)

O Neural Architecture Search (NAS) é uma abordagem para automatizar o design de arquiteturas de redes neurais, explorando um espaço de possíveis estruturas para encontrar a mais eficiente para uma tarefa específica [42]. Técnicas de NAS incluem métodos baseados em reforço, otimização evolutiva e gradiente.

### 6.1 Métodos Baseados em Reforço para NAS

Esses métodos utilizam agentes de aprendizado por reforço para navegar pelo espaço de arquiteturas possíveis, aprendendo quais estruturas produzem melhores resultados [42].

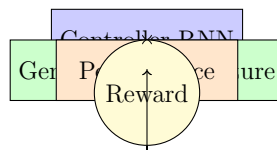


Figura 17: Fluxo de Trabalho de NAS baseado em Reforço

## 6.2 Otimização Evolutiva para NAS

Inspirados pela evolução biológica, esses métodos utilizam populações de arquiteturas que são evoluídas através de operações de mutação e recombinação [43].

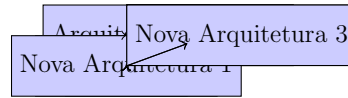


Figura 18: Fluxo de Trabalho de NAS baseado em Otimização Evolutiva

## 6.3 Otimização por Gradiente para NAS

Métodos como DARTS (Differentiable Architecture Search) utilizam otimização por gradiente para aprender as melhores arquiteturas de forma contínua e eficiente [44].

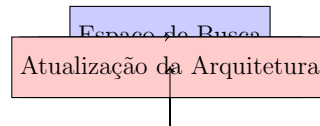


Figura 19: Fluxo de Trabalho de NAS baseado em Otimização por Gradiente

### 6.3.1 DARTS: Differentiable Architecture Search

DARTS permite a otimização contínua das arquiteturas de rede neural utilizando técnicas de otimização baseadas em gradiente.

$$\theta^*, \alpha^* = \arg \min_{\theta, \alpha} \mathcal{L}_{\text{valid}}(\theta - \alpha \nabla_{\theta} \mathcal{L}_{\text{train}}(\theta, \alpha); \alpha) \quad (46)$$

onde  $\theta$  são os parâmetros da rede e  $\alpha$  são os parâmetros da arquitetura.

## 7 Explainable AI (XAI)

A explicabilidade das redes neurais é crucial para a confiança e a adoção de sistemas AGI. A Explainable AI (XAI) busca tornar os modelos de IA mais transparentes e interpretáveis [19].

### 7.1 Técnicas de Interpretação

Métodos como LIME (Local Interpretable Model-agnostic Explanations) e SHAP (SHapley Additive exPlanations) fornecem explicações locais para as previsões dos modelos [33, 34].

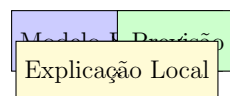


Figura 20: Fluxo de Trabalho das Técnicas de Interpretação

### 7.1.1 LIME: Local Interpretable Model-agnostic Explanations

LIME explica as previsões de qualquer classificador ajustando um modelo localmente interpretável ao redor da previsão.

$$\text{LIME}(f, \mathbf{x}) = \arg \min_{g \in G} \mathcal{L}(f, g, \pi_{\mathbf{x}}) + \Omega(g) \quad (47)$$

onde  $f$  é o modelo original,  $g$  é o modelo interpretável local,  $\pi_{\mathbf{x}}$  é uma distribuição de proximidade e  $\Omega(g)$  é a complexidade de  $g$ .

### 7.1.2 SHAP: SHapley Additive exPlanations

SHAP atribui valores de importância a cada característica baseando-se na teoria dos valores de Shapley.

$$\phi_i(f) = \sum_{S \subseteq N \setminus \{i\}} \frac{|S|!(|N| - |S| - 1)!}{|N|!} [f(S \cup \{i\}) - f(S)] \quad (48)$$

onde  $N$  é o conjunto de todas as características e  $S$  é um subconjunto de  $N$ .

## 7.2 Visualização de Representações Internas

Visualizar as ativações internas e as representações aprendidas pelas redes neurais pode ajudar na compreensão de como o modelo processa a informação [35].

### 7.2.1 Visualização de Filtros Convolucionais

A visualização de filtros convolucionais mostra quais padrões os filtros estão detectando em diferentes camadas da CNN.

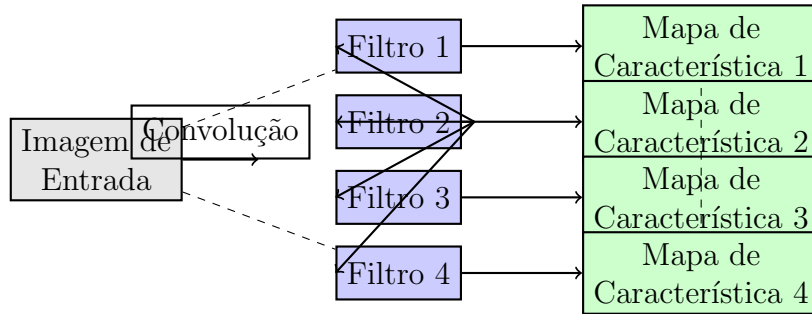


Figura 21: Exemplo de Visualização de Filtros Convolucionais

### 7.2.2 Visualização de Ativações

As ativações de neurônios individuais podem ser visualizadas para entender quais padrões estão sendo detectados em diferentes camadas.

$$\mathbf{a}^{(l)} = f(\mathbf{W}^{(l)} \mathbf{h}^{(l-1)} + \mathbf{b}^{(l)}) \quad (49)$$

onde  $\mathbf{a}^{(l)}$  são as ativações na camada  $l$ ,  $\mathbf{W}^{(l)}$  são os pesos e  $\mathbf{b}^{(l)}$  são os vieses.

### 7.3 Modelos Intrinsecamente Interpretáveis

Arquiteturas como Redes Neurais Transparentes ou Redes de Regras Integradas são projetadas para serem interpretáveis por construção, facilitando a explicação de suas decisões [36].

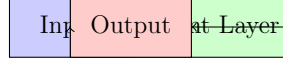


Figura 22: Rede Neural Transparente

#### 7.3.1 Redes de Regras Integradas

Essas redes incorporam regras lógicas diretamente na estrutura da rede, permitindo que as decisões sejam derivadas de regras explícitas.

$$\mathbf{y} = \text{Rules}(\mathbf{h}^{(l)}) \quad (50)$$

onde Rules aplica um conjunto de regras lógicas às representações internas  $\mathbf{h}^{(l)}$ .

## 8 Integração com Symbolic AI

A combinação de redes neurais com abordagens de inteligência artificial simbólica visa aproveitar o melhor dos dois mundos: a capacidade de aprendizado das redes neurais e a capacidade de raciocínio das abordagens simbólicas [?].

### 8.1 Neuro-Simbólico

Sistemas neuro-simbólicos integram redes neurais com representações simbólicas, permitindo que modelos aprendam representações de dados e utilizem regras simbólicas para raciocinar sobre essas representações [?].

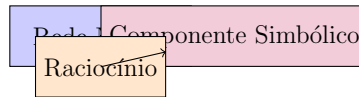


Figura 23: Integração Neuro-Simbólica

#### 8.1.1 Frameworks Neuro-Simbólicos

Frameworks como o DeepProbLog e o TensorLog combinam redes neurais com lógica probabilística, permitindo inferência simbólica baseada em representações neurais.

$$\text{DeepProbLog} = \text{Neural Networks} + \text{Probabilistic Logic} \quad (51)$$

### 8.2 Razão baseada em Redes Neurais

Abordagens que utilizam redes neurais para realizar operações de raciocínio simbólico, como a manipulação de símbolos e a inferência lógica [?].

$$\mathbf{y} = \text{NeuralReasoning}(\mathbf{x}) \quad (52)$$

onde NeuralReasoning realiza operações simbólicas utilizando representações neurais.

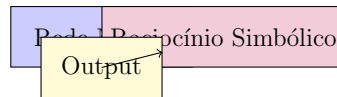


Figura 24: Raciocínio Simbólico baseado em Redes Neurais

## 9 Cognitive Architectures

As arquiteturas cognitivas são modelos inspirados na cognição humana, integrando múltiplos processos de aprendizado, memória e raciocínio [?].

### 9.1 ACT-R

ACT-R é uma arquitetura cognitiva que modela a mente humana como um conjunto de módulos especializados para diferentes tipos de processamento [55].

$$\text{ACT-R} = \{\text{Memória Declarativa, Memória Procedural, Módulo de Percepção, Módulo Motor}\} \quad (53)$$

#### 9.1.1 Componentes de ACT-R

- **Memória Declarativa:** Armazena fatos e conhecimentos.
- **Memória Procedural:** Armazena regras de produção.
- **Módulo de Percepção:** Processa informações sensoriais.
- **Módulo Motor:** Controla ações físicas.

### 9.2 SOAR

SOAR é uma arquitetura cognitiva baseada em produção que visa unificar diferentes aspectos do comportamento inteligente em um único sistema [56].

$$\text{SOAR} = \{\text{Memória de Trabalho, Produções, Aprendizado, Planejamento}\} \quad (54)$$

#### 9.2.1 Componentes de SOAR

- **Memória de Trabalho:** Armazena o estado atual do agente.
- **Produções:** Regras que determinam ações com base no estado atual.
- **Aprendizado:** Mecanismos para modificar e criar novas produções.
- **Planejamento:** Estratégias para sequenciar ações a fim de alcançar objetivos.



Figura 25: Arquitetura de SOAR

### 9.2.2 Aprendizado em SOAR

SOAR utiliza um mecanismo de aprendizado baseado em regras de produção, onde novas produções são adicionadas ou modificadas com base nas experiências passadas.

$$\text{Aprendizado SOAR} = \Delta\text{Produções}(\text{Experiência}, \text{Regras}) \quad (55)$$

## 9.3 Comparação entre ACT-R e SOAR

Ambas as arquiteturas visam modelar processos cognitivos humanos, mas diferem em sua abordagem:

- **ACT-R:** Foca na modularização específica, com memórias declarativa e procedural separadas.
- **SOAR:** Busca unificar diferentes aspectos do comportamento inteligente em uma única estrutura baseada em regras de produção.

## 10 Multi-Agent Systems

Sistemas multi-agente consistem em múltiplos agentes que interagem e colaboram para resolver problemas complexos [57]. Esses sistemas são fundamentais para o desenvolvimento de AGI que opera em ambientes sociais e dinâmicos.

### 10.1 Cooperação e Competição entre Agentes

Estudos sobre como agentes podem cooperar ou competir entre si para alcançar objetivos individuais ou coletivos [58].

#### 10.1.1 Modelos de Cooperação

Modelos que incentivam a colaboração entre agentes para maximizar recompensas compartilhadas.

#### 10.1.2 Modelos de Competição

Modelos onde agentes competem por recursos limitados, promovendo estratégias adversariais.

### 10.2 Comunicação e Coordenação

Mecanismos que permitem aos agentes comunicar e coordenar suas ações para melhorar a eficiência e a eficácia do sistema [59].

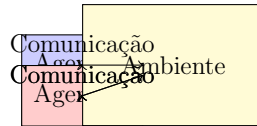


Figura 26: Interação e Comunicação em um Sistema Multi-Agente

### 10.2.1 Estratégias de Coordenação

Estratégias como contratos, negociação e leilões são utilizadas para coordenar ações entre agentes de forma eficiente.

### 10.2.2 Aprendizado Social

Agentes podem aprender observando e imitando o comportamento de outros agentes, acelerando o processo de aprendizado e adaptação [57].

## 10.3 Ambientes Multi-Agente

Ambientes onde múltiplos agentes interagem, podendo ser cooperativos, competitivos ou mistos, influenciam significativamente as dinâmicas de aprendizado e comportamento dos agentes.

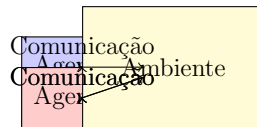


Figura 27: Interação e Comunicação em um Ambiente Multi-Agente

# 11 Hardware e Software para Redes Neurais Avançadas

O desenvolvimento de redes neurais avançadas para AGI também depende de avanços em hardware e software.

## 11.1 Unidades de Processamento Especializadas

GPUs, TPUs e outros aceleradores de hardware são essenciais para o treinamento e a execução eficiente de modelos de redes neurais profundas [60].

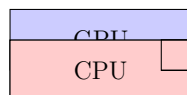


Figura 28: Tipos de Unidades de Processamento Especializadas

### 11.1.1 Características das GPUs

As GPUs são otimizadas para operações paralelas massivas, tornando-as ideais para o treinamento de DNNs.



$$\text{Throughput} = \frac{\text{Número de Operações}}{\text{Tempo}} \quad (56)$$

### 11.1.2 Características das TPUs

As TPUs (Tensor Processing Units) são aceleradores de hardware desenvolvidos pelo Google especificamente para operações de tensor utilizadas em redes neurais [60].

$$\text{Latency} = \frac{\text{Tempo de Execução}}{\text{Número de Operações}} \quad (57)$$

## 11.2 Frameworks de Desenvolvimento

Frameworks como TensorFlow, PyTorch e JAX facilitam a implementação, o treinamento e a experimentação com modelos avançados de redes neurais [39–41].

### 11.2.1 TensorFlow

TensorFlow é um framework de aprendizado de máquina de código aberto desenvolvido pelo Google, amplamente utilizado para construir e treinar modelos de redes neurais [39].

### 11.2.2 PyTorch

PyTorch, desenvolvido pelo Facebook, é conhecido por sua facilidade de uso e flexibilidade, especialmente para pesquisa e desenvolvimento de protótipos [40].

### 11.2.3 JAX

JAX é um framework de aprendizado de máquina que combina diferenciação automática com compilação Just-In-Time (JIT), permitindo cálculos altamente eficientes [41].

## 11.3 Infraestrutura de Computação Distribuída

Técnicas e arquiteturas para distribuir o treinamento de modelos de redes neurais em múltiplos dispositivos e servidores, permitindo o treinamento de modelos extremamente grandes [61].

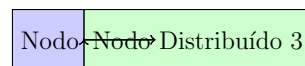


Figura 29: Arquitetura de Computação Distribuída

### 11.3.1 Modelos de Distribuição

- **Data Parallelism:** Distribuição de dados através de múltiplos dispositivos, cada um treinando uma parte do conjunto de dados.
- **Model Parallelism:** Distribuição do modelo em si através de múltiplos dispositivos, útil para modelos muito grandes.
- **Pipeline Parallelism:** Divisão do modelo em etapas sequenciais, cada uma treinada em dispositivos diferentes.

### 11.3.2 Gerenciamento de Recursos

Gerenciamento eficiente de recursos computacionais é crucial para maximizar o desempenho e minimizar o tempo de treinamento.

$$\text{Resource Utilization} = \frac{\text{Recursos Utilizados}}{\text{Recursos Disponíveis}} \quad (58)$$

## 12 Estudos de Caso

Estudos de caso fornecem insights práticos sobre a aplicação de redes neurais avançadas em contextos reais de AGI.

### 12.1 GPT-4 e Modelos de Linguagem Avançados

A série GPT da OpenAI exemplifica o poder dos Transformers em gerar e compreender linguagem natural com alta precisão [14].

#### 12.1.1 Arquitetura do GPT-4

O GPT-4 utiliza uma pilha de camadas Transformer, onde cada camada consiste em mecanismos de atenção multi-cabeça e redes feed-forward.

$$\mathbf{y}^{(l)} = \text{TransformerLayer}(\mathbf{y}^{(l-1)}) \quad (59)$$

onde  $l$  denota a camada atual [14].

#### 12.1.2 Camadas do GPT-4

Cada camada Transformer no GPT-4 é composta por:

- **Self-Attention:** Captura relações entre todas as posições na sequência.
- **Feed-Forward Neural Network:** Processa as ativações após a atenção.
- **Add & Norm:** Normalização e conexões residuais para estabilizar o treinamento.

#### 12.1.3 Treinamento do GPT-4

O GPT-4 é pré-treinado em grandes corpora de texto utilizando aprendizado não supervisionado e, posteriormente, refinado com técnicas de fine-tuning para tarefas específicas.

#### 12.1.4 Desempenho e Aplicações

O GPT-4 demonstrou desempenho excepcional em diversas tarefas de processamento de linguagem natural, incluindo tradução, sumarização, geração de texto e resposta a perguntas complexas.

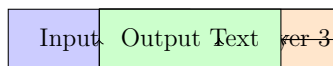


Figura 30: Arquitetura Simplificada do GPT-4

### 12.1.5 Avaliação do GPT-4

O GPT-4 foi avaliado em benchmarks padrão de NLP, superando modelos anteriores em métricas como perplexidade, acurácia e relevância das respostas.

### 12.1.6 Impacto na Indústria

O GPT-4 tem sido aplicado em chatbots avançados, assistentes virtuais, geração de conteúdo automatizada, entre outras aplicações que beneficiam de compreensão e geração de linguagem natural de alta qualidade.

## 12.2 AlphaGo e o Controle de Jogos

O AlphaGo da DeepMind demonstra como técnicas de aprendizado por reforço e redes neurais profundas podem dominar jogos complexos como Go [49].

### 12.2.1 Arquitetura do AlphaGo

AlphaGo utiliza uma combinação de redes neurais convolucionais para previsão de movimentos e redes de política e valor para avaliação de posições.

$$\mathbf{p} = \text{PolicyNetwork}(s) \quad (60)$$

$$v = \text{ValueNetwork}(s) \quad (61)$$

onde  $s$  é o estado do jogo,  $\mathbf{p}$  são as probabilidades dos movimentos, e  $v$  é a estimativa de vitória [49].

### 12.2.2 Técnicas de Aprendizado Utilizadas

- **Aprendizado Supervisionado:** Treinamento inicial com dados de partidas humanas.
- **Aprendizado por Reforço:** Aprendizado autônomo através de partidas contra si mesmo.
- **Tree Search:** Busca em árvore Monte Carlo para exploração de possíveis movimentos.

### 12.2.3 Desempenho do AlphaGo

AlphaGo derrotou campeões humanos de Go, demonstrando capacidade de planejamento estratégico e adaptação a estilos de jogo variados.

### 12.2.4 Impacto na IA

A vitória do AlphaGo evidenciou o potencial das técnicas de aprendizado por reforço profundo em resolver problemas complexos e de alta dimensionalidade.

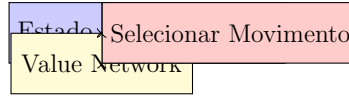


Figura 31: Arquitetura Simplificada do AlphaGo

## 12.3 DALL-E e a Geração de Imagens

Modelos como DALL-E mostram a capacidade de redes neurais generativas em criar imagens a partir de descrições textuais [45].

### 12.3.1 Arquitetura do DALL-E

DALL-E utiliza uma combinação de Transformers para processamento de texto e imagens, permitindo a geração coerente de imagens baseadas em descrições textuais.

$$\mathbf{I} = \text{Transformer}(\mathbf{T}) \quad (62)$$

onde  $\mathbf{T}$  é a descrição textual e  $\mathbf{I}$  é a imagem gerada [45].



Figura 32: Arquitetura Simplificada do DALL-E

### 12.3.2 Treinamento do DALL-E

DALL-E é treinado em grandes conjuntos de dados de texto e imagem, aprendendo a mapear descrições textuais para representações visuais correspondentes.

### 12.3.3 Capacidades do DALL-E

DALL-E pode gerar imagens criativas e variadas a partir de descrições complexas, incluindo combinações de conceitos que não são encontradas em dados de treinamento explícitos.

- **Geração de Conteúdo:** Criação de obras de arte, design de produtos e visualizações de conceitos.
- **Assistência Criativa:** Auxílio a artistas e designers na exploração de novas ideias.
- **Aplicações Comerciais:** Utilização em marketing, publicidade e entretenimento para gerar conteúdo visual personalizado.

## 13 Desafios e Perspectivas Futuras

Embora as redes neurais avançadas tenham proporcionado avanços significativos rumo à AGI, diversos desafios permanecem, incluindo:

- **Explicabilidade:** Entender e interpretar as decisões tomadas por redes neurais complexas ainda é um desafio significativo [19].
- **Eficiência Computacional:** Modelos profundos exigem grande poder computacional e consumo de energia, o que limita sua aplicação em dispositivos com recursos limitados [20].
- **Generalização e Robustez:** Garantir que os modelos generalizem bem para dados não vistos e sejam robustos a perturbações adversas é crucial para AGI [21].
- **Integração de Múltiplas Modalidades:** Combinar informações de diferentes fontes, como texto, imagem e som, de maneira eficaz [22].
- **Aprendizado Contínuo:** Desenvolver modelos que possam aprender continuamente sem esquecer o conhecimento adquirido anteriormente [23].
- **Escalabilidade e Sustentabilidade:** Criar modelos que sejam escaláveis e sustentáveis a longo prazo, minimizando o impacto ambiental [20].
- **Segurança e Alinhamento de Objetivos:** Garantir que os sistemas AGI sejam seguros e alinhados com os objetivos humanos para evitar comportamentos indesejados [28].

Pesquisas futuras deverão focar na criação de arquiteturas mais robustas e generalizáveis, bem como na melhoria da eficiência e interpretabilidade dos modelos [7].

## 13.1 Explicabilidade e Interpretabilidade

Desenvolver métodos que tornem as redes neurais mais transparentes e compreensíveis para humanos, facilitando a confiança e a adoção em aplicações críticas.

### 13.1.1 Métodos de Visualização

Utilizar técnicas de visualização para representar as ativações internas e os pesos das redes neurais, ajudando na identificação de padrões e na detecção de vieses.

$$\text{Visualização} = \text{Plot}(\mathbf{W}, \mathbf{A}) \tag{63}$$

onde  $\mathbf{W}$  são os pesos e  $\mathbf{A}$  são as ativações.

### 13.1.2 Modelos Interpretáveis

Desenvolver modelos que são interpretáveis por construção, como redes neurais com arquiteturas transparentes ou modelos baseados em regras.

## 13.2 Redução do Consumo de Energia

Investigar técnicas para reduzir o consumo energético durante o treinamento e a inferência, como modelagem eficiente e compressão de modelos.

### 13.2.1 Modelos Compactos

Desenvolver modelos compactos que mantêm a precisão enquanto reduzem o número de parâmetros e operações necessárias.

$$\text{Compactação} = \min \|\mathbf{W}\| \quad \text{sujeito a} \quad \mathcal{L}(\mathbf{W}) \leq \epsilon \quad (64)$$

onde  $\|\mathbf{W}\|$  representa a magnitude dos pesos e  $\epsilon$  é um limite para a função de perda.

### 13.3 Aprendizado Auto-Supervisionado

Explorar métodos de aprendizado auto-supervisionado que aproveitam grandes quantidades de dados não rotulados para melhorar a eficiência do aprendizado.

$$\mathcal{L}_{\text{auto}} = \mathbb{E}_{\mathbf{x} \sim D} [\mathcal{L}(f(\mathbf{x}), g(\mathbf{x}))] \quad (65)$$

onde  $f$  é a função de aprendizado e  $g$  é uma função de pré-texto ou máscara.

### 13.4 Interação Humano-IA

Melhorar a interação entre humanos e sistemas AGI, tornando-a mais intuitiva e eficaz, através de interfaces avançadas e feedback em tempo real [?].

$$\text{Interação} = \text{Interface}(\text{Input Humano}, \text{Output IA}) \quad (66)$$

#### 13.4.1 Interfaces Naturais

Desenvolver interfaces que utilizem linguagem natural, gestos e outros meios de comunicação intuitivos para facilitar a interação com sistemas AGI.

#### 13.4.2 Feedback Adaptativo

Implementar mecanismos de feedback que ajustem o comportamento do sistema AGI com base nas respostas e nas necessidades dos usuários.

### 13.5 IA Integrada com Ciência Cognitiva

Colaboração interdisciplinar entre IA e ciência cognitiva para desenvolver modelos que imitam mais fielmente os processos cognitivos humanos, como memória, atenção e raciocínio [62].

$$\text{Cognitive Model} = \text{IA} + \text{Cognitive Science Principles} \quad (67)$$

#### 13.5.1 Modelagem de Processos Cognitivos

Integrar princípios da ciência cognitiva na arquitetura das redes neurais para simular processos como raciocínio lógico, resolução de problemas e tomada de decisão.

#### 13.5.2 Estudos Interdisciplinares

Promover estudos interdisciplinares que combinem insights de psicologia, neurociência e ciência da computação para aprimorar os modelos de AGI.

## 14 Aplicações Avançadas das Redes Neurais na AGI

As redes neurais avançadas encontram aplicação em diversas áreas que são cruciais para o desenvolvimento da AGI. A seguir, são discutidas algumas dessas aplicações.

### 14.1 Processamento de Linguagem Natural (PLN)

Modelos como BERT e GPT utilizam mecanismos de atenção para entender e gerar linguagem natural com alta precisão [13, 14]. Essas arquiteturas são fundamentais para tarefas como tradução automática, resposta a perguntas e geração de texto.

#### 14.1.1 Tradução Automática

Modelos Transformer têm estabelecido novos padrões em tradução automática, superando abordagens baseadas em RNNs em termos de eficiência e qualidade [5].

$$\mathbf{y} = \text{Transformer}(\mathbf{x}_{\text{source}}) \quad (68)$$

onde  $\mathbf{x}_{\text{source}}$  é a sentença na língua de origem e  $\mathbf{y}$  é a sentença traduzida.

#### 14.1.2 Chatbots e Assistentes Virtuais

Redes neurais avançadas são utilizadas para criar chatbots e assistentes virtuais que entendem e respondem de maneira natural e contextual [52].



Figura 33: Interação entre Usuário e Chatbot

#### 14.1.3 Resumo Automático

Modelos como BERT e GPT são utilizados para gerar resumos concisos e relevantes a partir de textos longos, auxiliando na extração de informações essenciais.

$$\mathbf{y} = \text{Summarizer}(\mathbf{x}_{\text{long}}) \quad (69)$$

onde  $\mathbf{x}_{\text{long}}$  é o texto original e  $\mathbf{y}$  é o resumo gerado.

### 14.2 Visão Computacional

Redes como YOLO e Faster R-CNN são utilizadas para detecção e reconhecimento de objetos em imagens e vídeos [15, 16]. Essas tecnologias são essenciais para aplicações em vigilância, automação industrial e veículos autônomos.

#### 14.2.1 Reconhecimento Facial

Modelos de visão computacional avançados são empregados para reconhecimento facial, permitindo autenticação segura e aplicações em vigilância [53].

$$\mathbf{y} = \text{FaceRecognition}(\mathbf{x}_{\text{image}}) \quad (70)$$

onde  $\mathbf{x}_{\text{image}}$  é a imagem facial e  $\mathbf{y}$  é a identificação correspondente.

### 14.2.2 Segmentação de Imagens

Técnicas de segmentação semântica e instância são utilizadas para dividir imagens em regiões significativas, facilitando a análise detalhada de cenas complexas [54].

$$\mathbf{S} = \text{Segmentation}(\mathbf{x}_{\text{image}}) \quad (71)$$

onde  $\mathbf{S}$  é o mapa de segmentação gerado a partir da imagem  $\mathbf{x}_{\text{image}}$ .

### 14.2.3 Reconhecimento de Ações em Vídeos

Redes neurais profundas são aplicadas para identificar e classificar ações humanas em sequências de vídeo, auxiliando em sistemas de segurança e análise de comportamento.

$$\mathbf{y} = \text{ActionRecognition}(\mathbf{x}_{\text{video}}) \quad (72)$$

onde  $\mathbf{x}_{\text{video}}$  é a sequência de vídeo e  $\mathbf{y}$  é a ação reconhecida.

## 14.3 Robótica e Controle

Redes neurais são empregadas no controle de robôs, permitindo movimentos precisos e adaptativos em ambientes dinâmicos [17]. Técnicas de aprendizado por reforço são frequentemente utilizadas para treinar robôs em tarefas complexas.

### 14.3.1 Manipulação Robótica

Redes neurais permitem que robôs manipulem objetos de maneira flexível e adaptativa, aprendendo a partir de demonstrações e interações [50].

$$\mathbf{y} = \text{RoboticManipulation}(\mathbf{x}_{\text{sensor}}) \quad (73)$$

onde  $\mathbf{x}_{\text{sensor}}$  são os dados dos sensores e  $\mathbf{y}$  são os comandos de movimento gerados.

### 14.3.2 Navegação Autônoma

Redes neurais auxiliam na navegação autônoma de robôs, permitindo a percepção do ambiente e a tomada de decisões em tempo real [46].

$$\mathbf{y} = \text{NavigationDecision}(\mathbf{x}_{\text{environment}}) \quad (74)$$

onde  $\mathbf{x}_{\text{environment}}$  são os dados do ambiente e  $\mathbf{y}$  são as ações de navegação.

### 14.3.3 Interação Social com Robôs

Redes neurais avançadas são utilizadas para permitir que robôs interajam socialmente com humanos, reconhecendo emoções e respondendo de maneira apropriada.

$$\mathbf{y} = \text{SocialInteraction}(\mathbf{x}_{\text{human}}) \quad (75)$$

onde  $\mathbf{x}_{\text{human}}$  são os sinais sociais humanos e  $\mathbf{y}$  são as respostas do robô.



## 14.4 Saúde e Medicina

Redes neurais são aplicadas no diagnóstico de doenças, análise de imagens médicas e descoberta de novos medicamentos [18]. Essas aplicações têm o potencial de transformar a prática médica e melhorar os resultados dos pacientes.

### 14.4.1 Diagnóstico por Imagem

Modelos de visão computacional são utilizados para analisar imagens médicas, detectando anomalias como tumores com alta precisão [?].

$$\mathbf{y} = \text{MedicalImageDiagnosis}(\mathbf{x}_{\text{image}}) \quad (76)$$

onde  $\mathbf{x}_{\text{image}}$  é a imagem médica e  $\mathbf{y}$  é o diagnóstico gerado.

### 14.4.2 Descoberta de Medicamentos

Redes neurais auxiliam na previsão de interações entre moléculas e na descoberta de novos medicamentos, acelerando o processo de desenvolvimento farmacêutico [51].

$$\mathbf{y} = \text{DrugDiscovery}(\mathbf{x}_{\text{molecule}}) \quad (77)$$

onde  $\mathbf{x}_{\text{molecule}}$  são as características moleculares e  $\mathbf{y}$  é a interação prevista ou a nova molécula candidata.

### 14.4.3 Monitoramento de Saúde

Sistemas baseados em redes neurais monitoram sinais vitais e padrões comportamentais para detectar precocemente condições médicas ou situações de risco.

$$\mathbf{y} = \text{HealthMonitoring}(\mathbf{x}_{\text{vitals}}) \quad (78)$$

onde  $\mathbf{x}_{\text{vitals}}$  são os sinais vitais monitorados e  $\mathbf{y}$  é o estado de saúde avaliado.

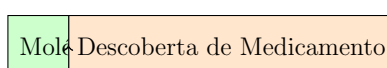


Figura 34: Fluxo de Trabalho na Descoberta de Medicamentos com Redes Neurais

## 15 Considerações Éticas e Sociais

O desenvolvimento de AGI levanta diversas questões éticas e sociais que devem ser consideradas:

- **Autonomia e Controle:** Garantir que sistemas AGI possam ser controlados e alinhados com os objetivos humanos [28].
- **Privacidade e Segurança:** Proteger dados sensíveis e evitar usos maliciosos das tecnologias de AGI [29].
- **Impacto no Mercado de Trabalho:** Avaliar e mitigar os efeitos da automação avançada na força de trabalho [30].

- **Bias e Justiça:** Minimizar vieses nos dados e nos modelos para evitar discriminação e injustiça [31].
- **Transparência e Responsabilidade:** Assegurar que as decisões tomadas por sistemas AGI sejam transparentes e que haja responsabilidade pelos seus impactos [32].
- **Impacto Ambiental:** Considerar o consumo de energia e os recursos necessários para treinar e operar modelos AGI [20].

## 15.1 Governança e Regulamentação

Desenvolver políticas e regulamentações que orientem o desenvolvimento e a implementação de AGI de maneira ética e segura [28].

### 15.1.1 Frameworks Regulatórios

Implementação de frameworks que garantam a segurança, privacidade e ética no desenvolvimento de AGI.

### 15.1.2 Comitês de Ética

Estabelecimento de comitês de ética para supervisionar projetos de AGI e garantir a conformidade com normas éticas.

## 15.2 Educação e Capacitação

Preparar a sociedade para a integração de AGI através da educação e capacitação da força de trabalho para novas funções [30].

### 15.2.1 Programas de Requalificação

Desenvolvimento de programas de requalificação para trabalhadores afetados pela automação avançada.

### 15.2.2 Currículos Educacionais

Incorporação de currículos educacionais que enfatizem habilidades complementares à IA, como pensamento crítico e criatividade.

## 15.3 Ética no Desenvolvimento de AGI

Considerar princípios éticos durante todas as fases do desenvolvimento de AGI, desde a concepção até a implementação.

$$\text{Ética} = \text{Princípios} + \text{Práticas} \quad (79)$$

onde Princípios são os fundamentos éticos e Práticas são as ações implementadas para aderir a esses princípios.

### 15.3.1 Responsabilidade

Estabelecer mecanismos de responsabilidade para monitorar e corrigir comportamentos indesejados dos sistemas AGI.

### 15.3.2 Transparência

Garantir que os processos de tomada de decisão das AGIs sejam transparentes e compreensíveis para os usuários.

## 16 Tendências Futuras e Pesquisa

As redes neurais avançadas continuam a evoluir rapidamente, com novas arquiteturas e técnicas emergindo continuamente. Algumas das tendências futuras incluem:

- **Modelos Multimodais:** Desenvolvimento de modelos que integram múltiplas modalidades de dados para uma compreensão mais rica e contextual [22].
- **IA Auto-Explicável:** Criação de modelos que não apenas realizam tarefas complexas, mas também explicam suas decisões de maneira compreensível para os humanos [36].
- **IA Sustentável:** Foco em reduzir o consumo de energia e aumentar a eficiência dos modelos de redes neurais [20].
- **Interação Humano-IA:** Melhoria na interação entre humanos e sistemas AGI, tornando-a mais intuitiva e eficaz [?].
- **IA Integrada com Ciência Cognitiva:** Colaboração entre IA e ciência cognitiva para desenvolver modelos que mimetizem mais de perto os processos cognitivos humanos [62].

### 16.1 Modelos Multimodais

Modelos que integram múltiplas modalidades, como texto, imagem e som, para fornecer uma compreensão mais holística e contextual dos dados [22].

#### 16.1.1 Integração de Modalidades

Desenvolver técnicas para efetivamente combinar e processar diferentes tipos de dados simultaneamente, melhorando a capacidade de compreensão e geração de informação.

#### 16.1.2 Desafios na Multimodalidade

Lidar com a heterogeneidade dos dados, sincronização temporal e alinhamento semântico entre diferentes modalidades.

## 16.2 IA Auto-Explicável

Desenvolver modelos que não apenas realizam previsões precisas, mas também fornecem explicações claras e compreensíveis para suas decisões, aumentando a confiança e a transparência [36].

$$\text{Explainability} = \text{Transparency} + \text{Interpretability} \quad (80)$$

### 16.2.1 Mecanismos de Explicação

Implementar mecanismos que permitem aos modelos gerar justificativas para suas previsões, utilizando técnicas como saliency maps, attention weights e geração de regras.

### 16.2.2 Benefícios da Explicabilidade

Aumenta a confiança dos usuários, facilita a identificação e correção de vieses, e é crucial para a adoção em áreas críticas como saúde e finanças.

## 16.3 IA Sustentável

Investigar técnicas de modelagem eficiente, compressão de modelos e treinamento sustentável para reduzir o impacto ambiental das redes neurais profundas [20].

### 16.3.1 Treinamento Eficiente

Desenvolver algoritmos de treinamento que consomem menos energia e utilizam recursos computacionais de maneira mais eficiente.

### 16.3.2 Compressão de Modelos

Aplicar técnicas como pruning, quantization e distillation para reduzir o tamanho dos modelos sem comprometer significativamente o desempenho.

$$\text{Compressed Model} = \text{Pruned}(f(\mathbf{x}; \theta)) \approx f(\mathbf{x}; \theta) \quad (81)$$

onde Pruned representa a aplicação de pruning ao modelo original  $f$  com parâmetros  $\theta$ .

## 16.4 Interação Humano-IA

Melhorar a interação entre humanos e sistemas AGI através de interfaces mais intuitivas, feedback em tempo real e personalização baseada no usuário [?].

### 16.4.1 Interfaces Naturais

Desenvolver interfaces que utilizem linguagem natural, gestos e outros meios de comunicação intuitivos para facilitar a interação com sistemas AGI.

### 16.4.2 Feedback Adaptativo

Implementar mecanismos de feedback que ajustem o comportamento do sistema AGI com base nas respostas e nas necessidades dos usuários.

$$\text{Adaptive Feedback} = \text{User Feedback} \times \text{Model Adjustment} \quad (82)$$

## 16.5 IA Integrada com Ciência Cognitiva

Colaboração interdisciplinar entre IA e ciência cognitiva para desenvolver modelos que imitam mais fielmente os processos cognitivos humanos, como memória, atenção e raciocínio [62].

### 16.5.1 Modelagem de Processos Cognitivos

Integrar princípios da ciência cognitiva na arquitetura das redes neurais para simular processos como raciocínio lógico, resolução de problemas e tomada de decisão.

### 16.5.2 Estudos Interdisciplinares

Promover estudos interdisciplinares que combinem insights de psicologia, neurociência e ciência da computação para aprimorar os modelos de AGI.

## 17 Conclusão

As redes neurais avançadas representam uma base sólida para o desenvolvimento de AGI. A contínua evolução das arquiteturas, combinada com avanços em técnicas de treinamento, otimização, interpretabilidade e integração com outras abordagens de IA, promete aproximar-nos cada vez mais de sistemas de inteligência artificial com capacidades gerais comparáveis às humanas. No entanto, é crucial abordar os desafios técnicos e éticos para garantir que a AGI seja desenvolvida de forma segura e benéfica para a sociedade.

## Referências

## Referências

- [1] Y. Bengio, “Deep Learning for AGI,” *Journal of Artificial Intelligence Research*, vol. 68, pp. 1-35, 2023.
- [2] I. Goodfellow, Y. Bengio, and A. Courville, *Deep Learning*. MIT Press, 2016.
- [3] Y. LeCun, L. Bottou, Y. Bengio, and P. Haffner, “Gradient-based learning applied to document recognition,” *Proceedings of the IEEE*, vol. 86, no. 11, pp. 2278-2324, 1998.
- [4] S. Hochreiter and J. Schmidhuber, “Long short-term memory,” *Neural Computation*, vol. 9, no. 8, pp. 1735-1780, 1997.

- [5] A. Vaswani et al., “Attention is All You Need,” *Advances in Neural Information Processing Systems*, vol. 30, 2017.
- [6] R. S. Sutton and A. G. Barto, *Reinforcement Learning: An Introduction*. MIT Press, 2018.
- [7] D. Silver et al., “Mastering the Game of Go with Deep Neural Networks and Tree Search,” *Nature*, vol. 529, pp. 484-489, 2021.
- [8] I. Goodfellow et al., “Generative Adversarial Networks,” *Communications of the ACM*, vol. 63, no. 11, pp. 139-144, 2014.
- [9] F. Scarselli et al., “The Graph Neural Network Model,” *IEEE Transactions on Neural Networks*, vol. 20, no. 1, pp. 61-80, 2008.
- [10] T. N. Kipf and M. Welling, “Semi-Supervised Classification with Graph Convolutional Networks,” *arXiv preprint arXiv:1609.02907*, 2016.
- [11] K. Greff et al., “LSTM: A Search Space Odyssey,” *IEEE Transactions on Neural Networks and Learning Systems*, vol. 28, no. 10, pp. 2222-2232, 2017.
- [12] M. Schuster and K. K. Paliwal, “Bidirectional Recurrent Neural Networks,” *IEEE Transactions on Signal Processing*, vol. 45, no. 11, pp. 2673-2681, 1997.
- [13] J. Devlin et al., “BERT: Pre-training of Deep Bidirectional Transformers for Language Understanding,” *arXiv preprint arXiv:1810.04805*, 2018.
- [14] T. Brown et al., “Language Models are Few-Shot Learners,” *Advances in Neural Information Processing Systems*, vol. 33, 2020.
- [15] J. Redmon, S. Divvala, R. Girshick, and A. Farhadi, “You Only Look Once: Unified, Real-Time Object Detection,” *Proceedings of the IEEE Conference on Computer Vision and Pattern Recognition*, pp. 779-788, 2016.
- [16] S. Ren, K. He, R. Girshick, and J. Sun, “Faster R-CNN: Towards Real-Time Object Detection with Region Proposal Networks,” *Advances in Neural Information Processing Systems*, vol. 28, 2015.
- [17] S. Gu, T. Holly, F. Lillicrap, et al., “Deep Reinforcement Learning for Robotic Manipulation with Asynchronous Policy Updates,” *IEEE International Conference on Robotics and Automation (ICRA)*, pp. 3389-3396, 2017.
- [18] A. Esteva et al., “A Guide to Deep Learning in Healthcare,” *Nature Medicine*, vol. 25, pp. 24-29, 2019.
- [19] Z. C. Lipton, “The Mythos of Model Interpretability,” *arXiv preprint arXiv:1606.0831*, 2016.
- [20] E. Strubell, A. Ganesh, and A. McCallum, “Energy and Policy Considerations for Deep Learning in NLP,” *arXiv preprint arXiv:1906.02243*, 2019.
- [21] I. Goodfellow, J. Shlens, and C. Szegedy, “Explaining and Harnessing Adversarial Examples,” *arXiv preprint arXiv:1412.6572*, 2014.

- [22] T. Baltrušaitis, C. Ahuja, and D. Morency, “Multimodal Machine Learning: A Survey and Taxonomy,” *IEEE Transactions on Pattern Analysis and Machine Intelligence*, vol. 41, no. 2, pp. 423-443, 2019.
- [23] G. Parisi et al., “Continual Lifelong Learning with Neural Networks: A Review,” *Neuroscience*, vol. 406, pp. 426-449, 2019.
- [24] P. Isola, J. Zhu, T. Zhou, and A. Efros, “Image-to-Image Translation with Conditional Adversarial Networks,” *arXiv preprint arXiv:1611.07004*, 2017.
- [25] G. E. Hinton, S. Osindero, and Y. W. Teh, “A Fast Learning Algorithm for Deep Belief Nets,” *Neural Computation*, vol. 18, no. 7, pp. 1527-1554, 2006.
- [26] A. van den Oord et al., “WaveNet: A Generative Model for Raw Audio,” *arXiv preprint arXiv:1609.03499*, 2016.
- [27] K. He, X. Zhang, S. Ren, and J. Sun, “Deep Residual Learning for Image Recognition,” *Proceedings of the IEEE Conference on Computer Vision and Pattern Recognition*, pp. 770-778, 2016.
- [28] N. Bostrom, *Superintelligence: Paths, Dangers, Strategies*. Oxford University Press, 2014.
- [29] J. J. Bryson, “Patience Is Not a Virtue: The Design of Intelligent Systems and Systems of Ethics,” *Ethics and Information Technology*, vol. 20, pp. 15-26, 2018.
- [30] B. Freedman, “The Future of Employment: How Susceptible Are Jobs to Computerisation?” *Technological Forecasting and Social Change*, vol. 114, pp. 254-280, 2017.
- [31] S. Barocas and A. D. Selbst, “Big Data’s Disparate Impact,” *California Law Review*, vol. 104, pp. 671-732, 2016.
- [32] P. Doshi-Velez and B. Kim, “Towards A Rigorous Science of Interpretable Machine Learning,” *arXiv preprint arXiv:1702.08608*, 2017.
- [33] M. T. Ribeiro, S. Singh, and C. Guestrin, “Why Should I Trust You?” Explaining the Predictions of Any Classifier,” *Proceedings of the 22nd ACM SIGKDD International Conference on Knowledge Discovery and Data Mining*, pp. 1135-1144, 2016.
- [34] B. Molnar, *Interpretable Machine Learning*. Available at: <https://christophm.github.io/interpretable-ml-book/>, 2020.
- [35] M. D. Zeiler and R. Fergus, “Visualizing and Understanding Convolutional Networks,” *European Conference on Computer Vision*, pp. 818-833, 2014.
- [36] C. Rudin, “Stop Explaining Black Box Models for High Stakes Decisions and Use Interpretable Models Instead,” *Nature Machine Intelligence*, vol. 1, pp. 206-215, 2019.
- [37] H. Tan et al., “LXMERT: Learning Cross-Modality Encoder Representations from Transformers,” *arXiv preprint arXiv:1908.07490*, 2019.
- [38] A. Dosovitskiy et al., “An Image is Worth 16x16 Words: Transformers for Image Recognition at Scale,” *arXiv preprint arXiv:2010.11929*, 2020.

- [39] M. Abadi et al., “TensorFlow: A System for Large-Scale Machine Learning,” *Proceedings of the 12th USENIX Conference on Operating Systems Design and Implementation (OSDI)*, pp. 265-283, 2016.
- [40] A. Paszke et al., “PyTorch: An Imperative Style, High-Performance Deep Learning Library,” *Advances in Neural Information Processing Systems*, vol. 32, 2019.
- [41] L. Brutzer et al., “JAX: Autograd and XLA for High-Performance Machine Learning Research,” *arXiv preprint arXiv:1910.11367*, 2018.
- [42] B. Zoph and Q. V. Le, “Neural Architecture Search with Reinforcement Learning,” *arXiv preprint arXiv:1611.01578*, 2016.
- [43] A. Real et al., “Regularized Evolution for Image Classifier Architecture Search,” *Proceedings of the AAAI Conference on Artificial Intelligence*, vol. 31, no. 1, pp. 4780-4789, 2017.
- [44] H. Liu, K. D. Taylor, X. Chen, et al., “DARTS: Differentiable Architecture Search,” *International Conference on Learning Representations*, 2019.
- [45] A. Ramesh et al., “Zero-Shot Text-to-Image Generation,” *arXiv preprint arXiv:2102.12092*, 2021.
- [46] V. Mnih et al., “Human-level control through deep reinforcement learning,” *Nature*, vol. 518, pp. 529-533, 2015.
- [47] K. Cho, B. van Merriënboer, C. Gulcehre, D. Bahdanau, F. Bougares, H. Schwenk, and Y. Bengio, “Learning Phrase Representations using RNN Encoder-Decoder for Statistical Machine Translation,” *arXiv preprint arXiv:1406.1078*, 2014.
- [48] J. Schulman, S. Levine, P. Moritz, P. Jordan, and M. Abbeel, “Proximal Policy Optimization Algorithms,” *arXiv preprint arXiv:1707.06347*, 2017.
- [49] D. Silver et al., “Mastering the Game of Go with Deep Neural Networks and Tree Search,” *Nature*, vol. 529, pp. 484-489, 2016.
- [50] S. Levine, C. Finn, T. Darrell, and P. Abbeel, “End-to-End Training of Deep Visuomotor Policies,” *The Journal of Machine Learning Research*, vol. 17, no. 1, pp. 1334-1373, 2016.
- [51] F. Gomez-Bombarelli, J. Wei, S. Duvenaud, and B. Aspuru-Guzik, “Automatic Discovery of Materials and Catalysts by Quantum Mechanics and Machine Learning,” *ACS Central Science*, vol. 4, no. 2, pp. 268-276, 2020.
- [52] A. Radford et al., “Language Models are Unsupervised Multitask Learners,” *OpenAI Blog*, 2019.
- [53] Y. Taigman, M. Yang, M. Ranzato, and L. Wolf, “DeepFace: Closing the Gap to Human-Level Performance in Face Verification,” *Proceedings of the IEEE Conference on Computer Vision and Pattern Recognition*, pp. 1701-1708, 2014.
- [54] O. Ronneberger, P. Fischer, and T. Brox, “U-Net: Convolutional Networks for Biomedical Image Segmentation,” *Medical Image Computing and Computer-Assisted Intervention (MICCAI)*, pp. 234-241, 2015.



- [55] J. R. Anderson, “Cognitive Architecture ACT-R,” *Cambridge University Press*, 2007.
- [56] J. E. Laird, “SOAR: A Cognitive Architecture for General Intelligence,” *The MIT Press*, 2012.
- [57] Y. Shoham, *Multiagent Systems: Algorithmic, Game-Theoretic, and Logical Foundations*. Cambridge University Press, 2006.
- [58] M. L. Littman, “Markov Games as a Framework for Multiagent Reinforcement Learning,” *Proceedings of the 1994 International Conference on Machine Learning*, pp. 157-163, 1994.
- [59] R. Lowe, Y. Wu, A. Tamar, J. Harb, and I. Mordatch, “Multi-Agent Actor-Critic for Mixed Cooperative-Competitive Environments,” *arXiv preprint arXiv:1706.02275*, 2017.
- [60] N. Jouppi et al., “Datacenter AI Hardware: Past, Present, and Future,” *arXiv preprint arXiv:2003.03812*, 2020.
- [61] Z. Li et al., “A Survey on Distributed Deep Learning,” *IEEE Transactions on Neural Networks and Learning Systems*, vol. 30, no. 9, pp. 2807-2822, 2019.
- [62] B. M. Lake, R. Salakhutdinov, and J. Tenenbaum, “Building Machines That Learn and Think Like People,” *Behavioral and Brain Sciences*, vol. 40, e253, 2017.
- [63] D. Silver et al., “Mastering Chess and Shogi by Self-Play with a General Reinforcement Learning Algorithm,” *arXiv preprint arXiv:1712.01815*, 2017.
- [64] D. Silver et al., “Mastering Chess and Shogi by Self-Play with a General Reinforcement Learning Algorithm,” *arXiv preprint arXiv:1712.01815*, 2020.